

СООБЩЕНИЯ  
ОБЪЕДИНЕННОГО  
Института  
ЯДЕРНЫХ  
ИССЛЕДОВАНИЙ  
ДУБНА

---

С 481

P13-88-239

Б.Словинский, Д.Чижевска\*

МОДЕЛИРОВАНИЕ ПРОБЕГОВ ЭЛЕКТРОНОВ  
В ЭЛЕКТРОННО-ФОТОННЫХ ЛАВИНАХ,  
ВЫЗЫВАЕМЫХ ГАММА-КВАНТАМИ  
С ЭНЕРГИЕЙ  $E_{\gamma} = 100\text{-}3000 \text{ МэВ}$

---

\*Институт физики Варшавского политехнического  
института, Варшава

1988

## I. ВВЕДЕНИЕ

При экспериментальном исследовании пространственного распределения ионизационных потерь энергии электронами и позитронами (далее — электронами) в электронно-фотонных ливнях (ЭФЛ), вызываемых гамма-квантами (ГК) высоких энергий ( $E_\gamma \geq 100$  МэВ) в жидким ксеноне, естественным образом возникает вопрос о соотношении между проекцией длины пробега ливневых электронов на плоскость фотографирования (ППЛЭ) и соответствующими потерями энергии на ионизацию атомов среды (ИП)<sup>/1/</sup>. В выполненных нами до сих пор экспериментальных работах, касающихся пространственной структуры ЭФЛ, предполагалось, что ППЛЭ пропорциональна ИП. Такое предположение основывалось главным образом на результатах моделирования траекторий электронов с энергией  $E_e = 1000$  МэВ в жидким ксеноне, а также на оценочном моделировании ППЛЭ в ЭФЛ, инициированных ГК с энергией  $E_\gamma = 500 \div 3000$  МэВ<sup>/1/</sup>. Однако для детального анализа экспериментального материала необходимо более подробно изучить зависимость между ППЛЭ и ИП при более низких энергиях ГК, где имеются определенные методические трудности<sup>/2,3/</sup>, а также в различных местах пространства, занимаемого ливнем: вдоль оси ливня (ОЛ), в направлении, перпендикулярном к ОЛ, вблизи и вдали от точки конверсии первичного ГК. Именно такая задача поставлена в настоящей работе, в которой с этой целью рассматриваются два упрощенных варианта модели электронно-фотонного каскадного процесса, вызываемого в жидким ксеноне ГК с энергией  $E_\gamma = 100, 200, 500, 1000, 2000$  и  $3000$  МэВ. Следует при этом подчеркнуть, что из-за сложной пространственной конфигурации траекторий ливневых электронов в достаточно плотном поглотителе решить названную задачу экспериментальным путем практически невозможно. Нецелесообразно также, из практических соображений, адаптировать для этой цели имеющиеся программы моделирования ЭФЛ (например, EGS Code System<sup>/4/</sup>).

## II. ФИЗИЧЕСКИЕ ПРЕДПОЛОЖЕНИЯ МОДЕЛИ ЭФЛ

Электронно-фотонный ливень является сложным стохастическим электромагнитным каскадным процессом типа рождение-гибель (например,<sup>/5/</sup>), включающим в себя достаточно большое число различных элементарных взаимодействий, испытываемых электронами, позитронами и фотонами в столкновениях с молекулами, атомами, электронами

и атомными ядрами среды, в которой он развивается. В настоящее время существует ряд подходов к численному моделированию ЭФЛ по методу Монте-Карло, которые с разной степенью точности учитывают различные составные процессы лавины (например, <sup>6-8</sup>). Соответствующие программы на ЭВМ достаточно сложны и требуют много времени на больших вычислительных машинах. С точки зрения поставленной в настоящей работе задачи, можно ограничиться, как ранее <sup>11</sup>, некоторыми упрощенными вариантами модели процесса развития ЭФЛ, которые тем не менее достаточно реалистически отражают основные черты изучаемого явления. Итак, в рамках нашего подхода электромагнитный каскадный процесс состоит из следующих основных элементарных взаимодействий: образование электронно-позитронных пар фотонами с энергией  $E \geq E_{oy}$ , тормозное излучение, ионизационные потери и многократное кулоновское рассеяние ливневых электронов. Первые три явления обусловливают процесс размножения и затухания в ливне, последнее же существенно для правильного определения соотношения между экспериментально измеряемой величиной — ППЛЭ и ионизационными потерями энергии ливневых электронов. В соответствии с этой концепцией численное моделирование ППЛЭ в жидким ксеноне было основано на следующих алгоритмах (далее: модель 1).

1. Каждый фотон с энергией  $E \geq E_y$  образует электронно-позитронную пару после прохождения пути длиной  $x$ , которая разыгрывается из экспоненциального распределения

$$P(x|E) = \lambda(E)^{-1} \exp(-x/\lambda(E)), \quad (1)$$

где  $\lambda(E)$  принято в виде аппроксимирующего выражения <sup>9</sup>:

$$\lambda(E) = 5,2 \cdot (1 + 13 \cdot E^{-0,7706}) \text{ см.} \quad (2)$$

Предполагается также, что образованные электрон и позитрон уносят по половине энергии ГК:  $E_{e\pm} = E_y/2$ . В качестве пороговой энергии  $E_{oy}$  рассматривались два значения: 2 и 10 МэВ.

2. Каждый электрон с энергией  $E_e \geq E_o$  испускает тормозной ГК на длине пробега  $\Delta R = 0,05$  рад.дл., причем для радиационной длины жидкого ксенона принято значение 4 см, в соответствии с экспериментальными данными <sup>11</sup>. Энергия этого ГК определяется из соотношения <sup>10</sup>:

$$\left( \frac{\Delta E}{\Delta R} \right)_{t.p.} = \begin{cases} 2,7 \cdot E [\ln(3,91 \cdot E) - 0,333], & E \leq 18 \text{ МэВ}, \\ 1,07 \cdot E, & E > 18 \text{ МэВ}. \end{cases} \quad (3)$$

Здесь тормозные потери энергии  $(\Delta E / \Delta R)_{t.p.}$  ливневых электронов в жидким ксеноне выражены в МэВ/рад.дл.,  $E_o = (0,9 + \xi)$  МэВ, где  $\xi$  — случайная величина, значение которой разыгрывается из равномер-

ного распределения в интервале [0,1] (такой вид пороговой энергии  $E_o$  ливневых электронов ближе всего отражает экспериментальные условия <sup>11</sup>).

3. Выражение для средних ионизационных потерь энергии ливневых электронов с энергией  $E_e$  в жидким ксеноне имеет вид <sup>10</sup>:

$$\left( \frac{\Delta E}{\Delta R} \right)_{i.p.} = \frac{0,556}{1 - D^2} \left\{ \ln \left( 5 \cdot 10^5 \frac{1 - D^2}{D^2} \right) \cdot E_e + D^2 - \ln 2 \cdot (2D - D^2) \right\}, \quad (4)$$

где  $D = 0,511/E$ . Энергия  $E_e$  выражена в МэВ, пробег  $R$  — в рад.дл.

4. Многократное кулоновское рассеяние электронов с энергией  $E_e$  описывается при помощи двух углов: угла рассеяния  $\theta$  и азимутального угла  $\psi$ . Угол рассеяния разыгрывается из нормального распределения:

$$P(\theta | E_e, \Delta Z) = N(0, \theta^2/2), \quad (5)$$

где  $\Delta Z$  — толщина слоя рассеивающего вещества и, согласно <sup>10</sup>,

$$\theta^2 = 0,157 \frac{Z(Z+1)}{A} \cdot \frac{B}{C^2} \cdot \Delta Z \ln \{ 1,13 \cdot 10^4 \frac{Z^{4/3}}{A} \cdot \frac{B}{C} \cdot \Delta Z \}. \quad (6)$$

Здесь  $Z = 54$ ,  $A = 131$  — атомный номер и атомный вес ядра ксенона,  $B = (E_e + 0,511)^2$ ,  $C = E_e(E_e + 1,022)$ , угол  $\theta$  выражен в радианах. Азимутальный угол  $\psi$  разыгрывается из равномерного распределения в интервале [0,  $2\pi$ ]. В пунктах рассеяния электрона и испускания ГК сохраняется полная энергия и импульс.

Второй вариант модели ЭФЛ (далее: модель 2) учитывает энергетический спектр тормозных ГК в виде распределения Бете-Гайтлеера <sup>12</sup>, которое было аппроксимировано функцией вида:

$$P(E_e, E) = \frac{1}{E} \left( a_i + \frac{b_i}{E_e} \right) \quad (7)$$

при условии, что  $E \geq 0,1$  МэВ. Численные значения параметров  $a_i$  и  $b_i$  ( $i = 1, 2, 3$ ) подбирались по методу наименьших квадратов для  $E_e = 10, 20, 100, 1000$  и  $10000$  МэВ. Рассматривался также вариант модели ЭФЛ, в котором электрон испускает тормозной ГК на длине пробега  $\Delta R$ , на которой полная вероятность испустить ГК равна 0,5.

### III. РЕЗУЛЬТАТЫ МОДЕЛИРОВАНИЯ ППЛЭ

Аналогично эксперименту <sup>11</sup> ось ливней лежат в плоскости проекции (в эксперименте — плоскость фотографирования). Эта плоскость (ПП) размечалась в виде прямоугольной сетки раstra с шагом  $\Delta t$  вдоль

ОЛ и  $\Delta p$  – в направлении, перпендикулярном к ОЛ. Глубина  $t$  развития ливня отсчитывается от точки конверсии ГК, образующего ЭФЛ. При моделировании ЭФЛ вычислялись значения отношения

$$\eta(t, p | E_\gamma) = \frac{\Delta \Sigma E_e(t, p | E_\gamma)}{\Delta \Sigma r_e(t, p | E_\gamma)} \quad (8)$$

ионизационных потерь энергии ливневых электронов,  $\Delta \Sigma E_e(t, p | E_\gamma)$ , выделяемых внутри столбика, перпендикулярного к ПП, проекцией которого на эту плоскость является клетка растра с координатами  $(t, t + \Delta t; p, p + \Delta p)$ , к соответствующей ППЛЭ,  $\Delta \Sigma r_e(t, p | E_\gamma)$ . На рисунках 1-3 приведены распределения величины

$$\eta(t | E_\gamma) = \sum_p \eta(t, p | E_\gamma) \quad (9)$$

для энергий первичных ГК  $E_\gamma = 100, 200, 500, 1000, 2000$  и  $3000$  МэВ. При  $E_\gamma = 100, 2000$  и  $3000$  МэВ сравниваются результаты двух рассмотренных моделей ЭФЛ (рис.2 и 3). Сопоставление данных при двух значениях пороговой энергии ГК,  $E_{oy} = 2$  и  $10$  МэВ, проиллюстрировано на примере ливней, вызванных ГК с энергией  $E_\gamma = 1000$  МэВ (модель 1, рис.1). На рисунках 3, 4 и 5 приведены аналогичные распределения, но относящиеся к интервалам значений  $p \in \Delta p = 0,125$  рад.дл. (рис.4) и  $0,375$  рад.дл. (рис.5), расположенным по обе стороны ОЛ в плоскости  $(t, p)$ :

$$\eta(t | E_\gamma) = \sum_{p \in \Delta p} \eta(t, p | E_\gamma). \quad (9')$$

Поперечные распределения величины (8)

$$\eta(p | E_\gamma) = \sum_{t \in \Delta t} \eta(t, p | E_\gamma) \quad (10)$$

в интервале  $\Delta t = 0,5$  рад.дл. в окрестности максимума ливней показаны на рисунках 6-8, причем на рис.6 изображены данные по модели 1, а для  $E_\gamma = 1000$  МэВ сопоставлены результаты, касающиеся двух пороговых значений  $E_{oy} = 2$  и  $10$  МэВ. Сравнение поперечных распределений величины (10) для двух моделей в интервале  $\Delta t$ , соответствующем максимумам ливней, образованных ГК с энергией  $E_\gamma = 2000$  и  $3000$  МэВ, показано на рис.7. Аналогичные данные для  $E_\gamma = 100$  МэВ приведены на рис.8.

Таблица содержит численные значения отношения (8), усредненного по всей плоскости проекции,

$$\eta(E_\gamma) = \sum_{t, p} \eta(t, p | E_\gamma), \quad (11)$$

Рис.1. Распределение величины  $\eta(t)$ , определенной соотношением (9), по глубине  $t$  развития ливней, отсчитываемой от точки конверсии гамма-кванта с энергией  $E_\gamma$ , вызывающего ливень. Число разыгранных по модели 1 ливней равно 20 для каждого распределения.  $E_{oy}$  – пороговая энергия ливневых гамма-квантов.

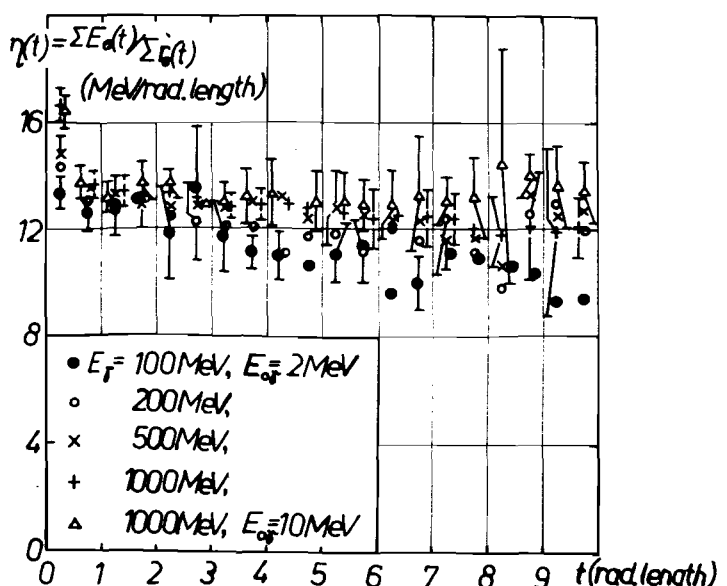
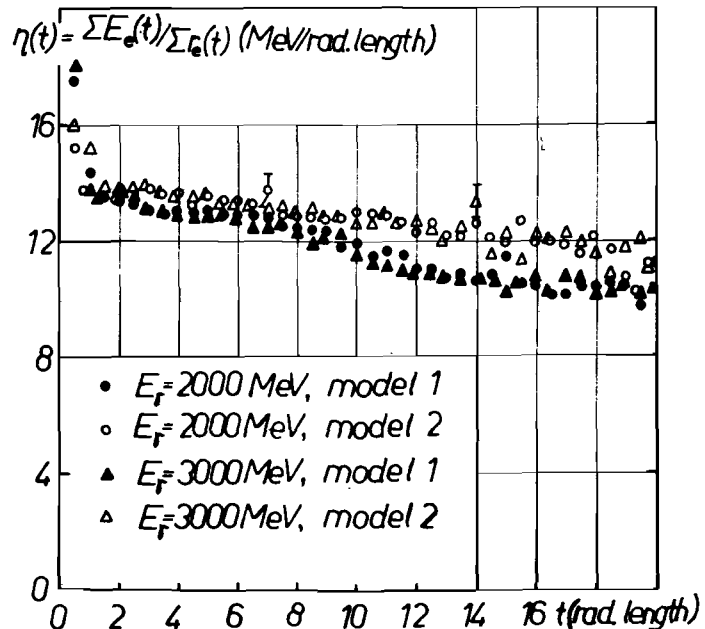


Рис.2. То же, что на рис.1, но для других значений  $E_\gamma$  и двух моделей. Расчет по выборкам численностью  $N_\gamma$  ливней, указанной в таблице.



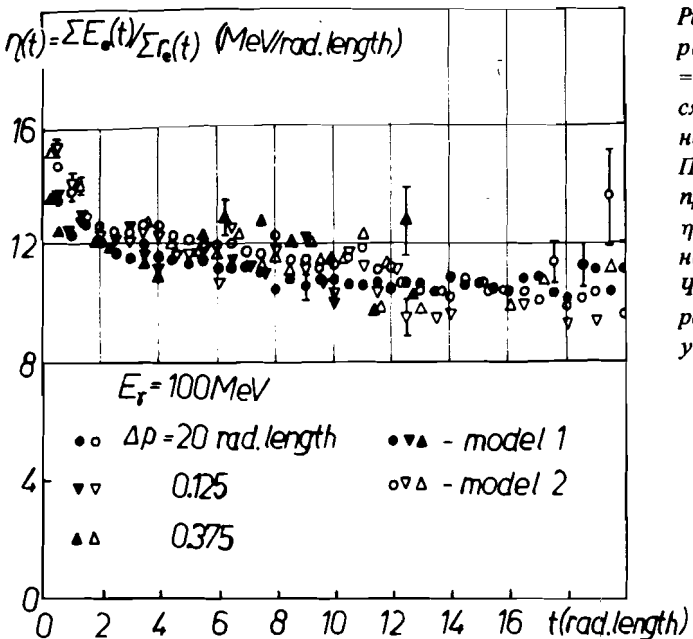


Рис.3. То же, что на рис.1, но при  $E_y = 100 \text{ МэВ}$  сравниваются результаты, полученные по двум моделям. Приведены также распределения величины  $\eta(t | E_y)$ , определенной соотношением (9'). Численность  $N_y$  выборок разыгранных лавин указана в таблице.

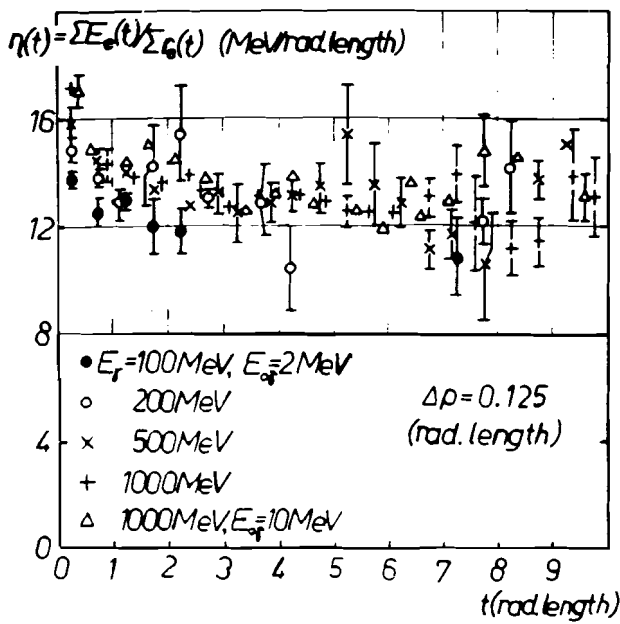
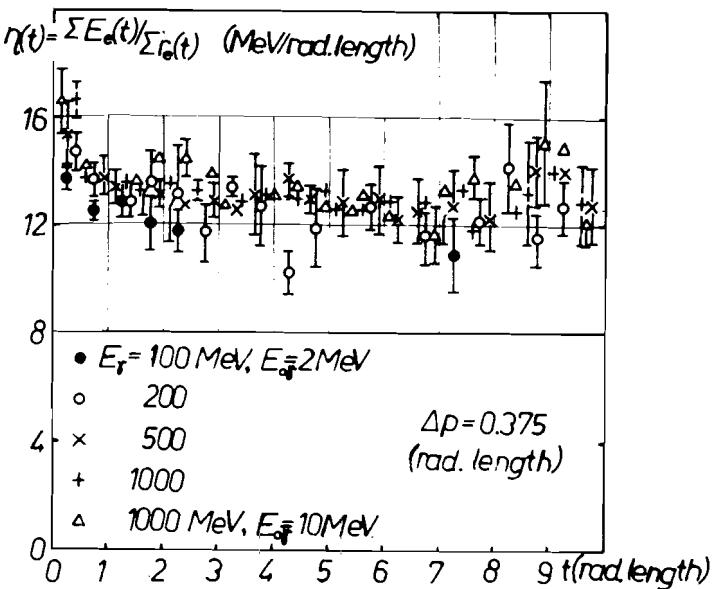
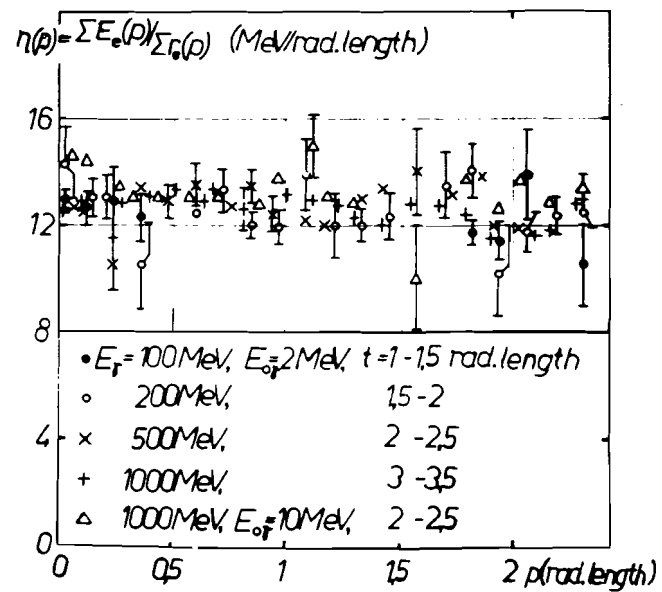


Рис.4. То же, что на рис.1, но для величины  $\eta(t)$ , определенной соотношением (9'), где  $\Delta p = 0,125 \text{ рад.дл.}$



**Рис.6.** Распределения величины  $\eta(p)$ , определенной соотношением (10). На рисунке указаны интервалы значений  $t$ , к которым относятся соответствующие распределения  $\eta(p)$ . Расчет по модели I.

Таблица

Численные значения величины  $\eta(E_\gamma)$ , определенной формулой (11) и вычисленной по двум моделям ЭФЛ, в зависимости от энергии  $E_\gamma$  ГК, вызывающего ливни.  $E_{\text{сы}} = 2 \text{ МэВ}$ ,  $\eta(E_\gamma)$  дано в МэВ/рад.дл.,  $N_\gamma$  – число промоделированных случаев ЭФЛ. Ошибка  $\delta\eta(E_\gamma) \approx 0,1$

$E_\gamma$ (МэВ)	100	200	500	1000	2000	3000	все
Модель 1	$\eta(E_\gamma)$ 640	12,5 420	12,9 200	13,2 100	13,2 55	13,4 20	13,1 1435
	$N_\gamma$						
Модель 2	$\eta(E_\gamma)$ 448	13,6 294	13,6 140	13,6 70	13,4 40	13,6 21	13,5 1013
	$N_\gamma$						

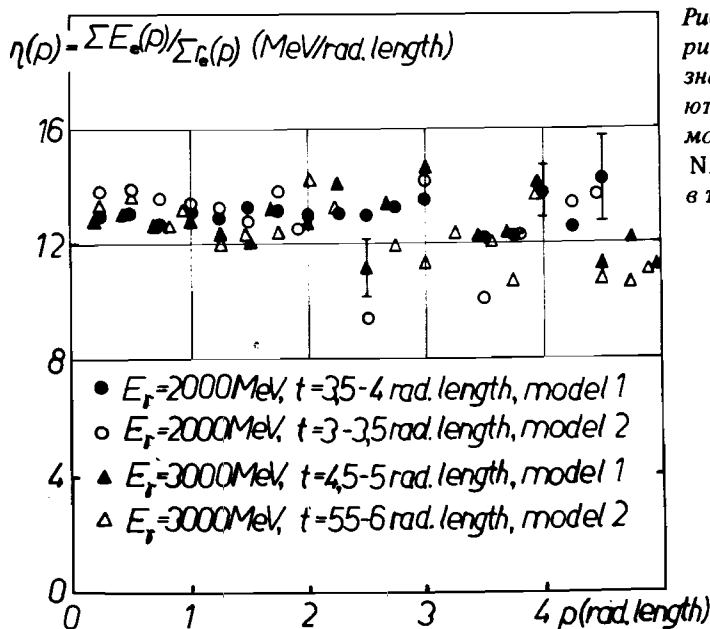


Рис.7. То же, что на рис.6, но для других значений  $E_\gamma$ . Сравниваются расчеты по двум моделям. Численность  $N_\gamma$  выборок указана в таблице.

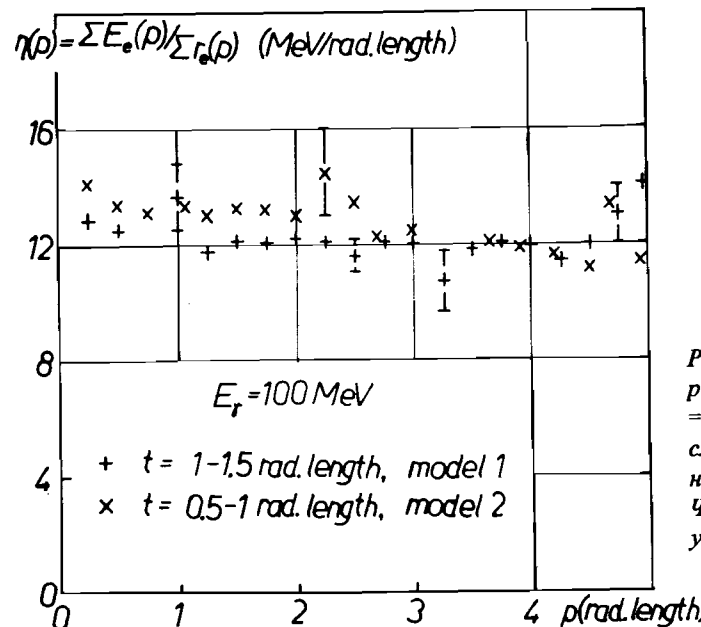


Рис.8. То же, что на рис.6, но для  $E_\gamma = 100 \text{ МэВ}$  сравниваются результаты, полученные по двум моделям. Численность выборок указана в таблице.

и вычисленного на основании обоих рассмотренных модельных подходов. Там же помещены числа  $N_\gamma$  разыгранных случаев ЭФЛ. Эти числа подбирались таким образом, чтобы относительная ошибка  $\delta\eta/\eta$  в определении величины (8) по крайней мере в 50% прямоугольных клеток раstra размером  $\Delta t = 2\Delta p = 0,25 \text{ рад.дл.}$  не превышала 3%.

#### IV. ОБСУЖДЕНИЕ РЕЗУЛЬТАТОВ

Приведенные распределения (рис.1-8) характерны для общей картины распределения величины  $\eta(t, p | E_\gamma)$  в плоскости  $(t, p)$ . Можно заметить, что  $\eta(t, p | E_\gamma)$  статистически значимо превышает среднее значение (см. таблицу) лишь вблизи точки конверсии ГК, образующего ливень, т.е. при  $\Delta t \lesssim 1 \text{ рад.дл.}$  и  $\Delta p \lesssim 0,1 \text{ рад.дл.}$  Это превышение растет с увеличением энергии  $E_\gamma$ , что отражает энергетическую зависимость ионизационных потерь энергии электронов и позитронов с энергией  $E_{\text{ел}} \approx E_\gamma/2$  в начале ливня. Кроме того, не наблюдается превышения  $\eta(t, p | E_\gamma)$  над средним значением даже в узком интервале  $\Delta p = 0,125 \text{ рад.дл.}$  вдоль оси ливня при  $t \gtrsim 1 \text{ рад.дл.}$  (рис.3 и 4), так как электроны высоких энергий быстро теряют свою энергию. С увеличением  $t$  и  $p$  величину  $\eta(t, p | E_\gamma)$  можно считать постоянной, в пределах статистических ошибок, по крайней мере в интервале значений  $(t, p)$ , в котором выделяется в виде ионизационных потерь энергии более 90% суммарных ИП ливневых электронов (далее: центральная область ливня). Вне этого интервала  $\eta(t, p | E_\gamma)$  уменьшается примерно на ~10%, что связано с уменьшением ИП при уменьшении, в среднем, энергии ливневых электронов на краях области пространства, занимаемого лавиной. Следует, однако, подчеркнуть, что значения  $\eta(t, p | E_\gamma)$ , полученные по модели 2, которая приводит к более жесткому энергетическо-

му спектру ливневых фотонов и электронов, чем модель 1, и, следовательно, ближе к действительности, на несколько процентов выше соответствующих значений  $\eta(t, p | E_\gamma)$ , вычисленных по модели 1. Вне центральной области ливня эта разница растет с  $E_\gamma$  и достигает 10-15% при  $E_\gamma \geq 2000$  МэВ. Интересно также отметить, что в модели 2 величина  $\eta(t, p | E_\gamma)$  претерпевает меньшие изменения с ростом  $t$ , чем в модели 1, особенно при более высоких значениях энергии  $E_\gamma$  (рис.2).

Во всех рассмотренных случаях не наблюдается зависимости  $\eta(t, p | E_\gamma)$  от поперечных размеров ( $p$ ) ливней, кроме, как уже упоминалось, начала ливня.

С практической точки зрения важно, что во всем изученном интервале  $E_\gamma = 100 \div 3000$  МэВ распределение  $\eta(t, p | E_\gamma)$  в плоскости ( $t, p$ ) несущественно зависит от  $E_\gamma$  (модель 2), кроме начала лавины. Другими словами, распределения  $\eta(t, p | E_\gamma)$  при разных  $E_\gamma$  подобны. В модели 1 это свойство величины  $\eta(t, p | E_\gamma)$  устанавливается при  $E_\gamma \geq 200$  МэВ (рис.1).

Обе модели приводят к увеличенным, по сравнению с экспериментом, поперечным размерам ливней, а положение максимумов  $t_{\max}$  сдвинуто в сторону меньших значений  $t$ . Это обусловлено, в основном, предположением (5) относительно нормальности углового распределения многократно рассеиваемых ливневых электронов. Введение соответствующего ограничения, например  $\theta < \langle \theta^2 \rangle^{1/2}$ , делает обе модели более реалистическими. Тем не менее без ограничений такого рода можно проследить распределения  $\eta(t, p | E_\gamma)$  на эффективно больших расстояниях от ОЛ и от точки конверсии первичных ГК. Надо при этом отметить, что рассмотренные модели приводят к зависимости между  $E_\gamma$  и суммарным пробегом ливневых электронов (таблица), удовлетворительно согласующейся с результатами других программ моделирования ЭФЛ по методу Монте-Карло. Так, например, в<sup>6/</sup> отношение  $\epsilon = E_\gamma / \sum R_e = 13,4$  МэВ/рад.дл. и практически постоянно в интервале  $E_\gamma = 100 \div 5000$  МэВ ( $\sum R_e$  — суммарный пробег ливневых электронов с энергией  $\geq 1$  МэВ). В приближении Б каскадной теории<sup>13/</sup> величина  $\epsilon$  совпадает с так называемой критической энергией, т.е. энергией электрона, равной его потерям энергии на испускание тормозных ГК на одной рад.дл.

## V. ВЫВОДЫ

На основании выполненного моделирования длин пробегов ливневых электронов в ЭФЛ, вызванных ГК с энергией  $E_\gamma = 100, 200, 500, 1000, 2000$  и  $3000$  МэВ в жидким ксеноне, можно сделать следующие выводы:

1. Проекция суммарного пробега ливневых электронов  $\Sigma r_e(t, p | E_\gamma)$  на плоскость ( $t, p$ ), в которой лежит ось ливня, с точностью до нескольких процентов отражает ионизационные потери энергии прежде-

всего в центральной области ливня, содержащей, в среднем, не менее 90% энергии лавины.

2. Превышение величины  $\eta(t, p | E_\gamma)$  (8) над средним значением (таблица), обусловленное энергетической зависимостью ИП электронов с энергией  $E_e - E_\gamma$ , наблюдается лишь вблизи точки конверсии первичного ГК, т.е. при  $t \leq 1$  рад.дл. и  $p \leq 0,1$  рад.дл.

3. Величина  $\eta(t, p | E_\gamma)$  уменьшается на  $\leq 10-15\%$  вне центральной области ливня, прежде всего вдоль длины  $t$  развития ЭФЛ, что обусловлено энергетической зависимостью ИП ливневых электронов более низких энергий.

4. Численное значение величины  $\eta(E_\gamma)$ , усредненное по всей плоскости наблюдения ( $t, p$ ) (таблица), удовлетворительно согласуется с аналогичными результатами других работ, посвященных моделированию ЭФЛ по методу Монте-Карло<sup>6/</sup>.

Полученные нами результаты дают возможность провести физический анализ и, в частности, скорректировать имеющиеся экспериментальные данные, касающиеся пространственного распределения ионизационных потерь электронов в электронно-фотонных лавинах. Они могут быть также полезны при дальнейшем совершенствовании методики определения энергии ГК по длине пробега создаваемых ими ливневых электронов.

## ЛИТЕРАТУРА

1. Словинский Б. и др. ОИЯИ, Р1-86-809, Дубна, 1985; ОИЯИ, Р1-86-810, Дубна, 1986; ОИЯИ, Р1-86-811, Дубна, 1986.
2. Охрименко Л., Словинский Б., Стругальский З. ОИЯИ, Р1-750, Дубна, 1973.
3. Барылов В.Г. и др. Препринт ИТЭФ-181, Москва, 1984.
4. Nelson W.R. In: *Computer Techniques in Radiation Transport and Dosimetry*. Ettore Majorana Intern. Science Series. Plenum Press. N.Y., London, 1978, p.173-195.
5. Gardiner C.W. *Handbook of Stochastic Methods for Physics, Chemistry and the Natural Sciences*. Springer-Verlag Berlin, Heidelberg, New York, Tokyo, 1985, p.235; Ramakrishnan R. *Elementary Particles and Cosmic Rays*. New York, 1962.
6. Longo E., Sestili I. *Nucl. Instr. Meth.*, 1975, 128, p.283-307.
7. Борковский М.Я. Препринт ЛИЯФ, №462, Л., 1979.
8. Okamoto M., Shibata T. – *Nucl.Instr. Meth.*, 1987, A257, p.155-176.
9. Охрименко Л.С., Словинский Б., Стругальский З. ОИЯИ, Р13-3918, Дубна, 1968.
10. Rossi B. *Частицы больших энергий*. М.: Гостехиздат, 1955.
11. Ничипорук Б., Словинский Б., Стругальский З. ОИЯИ, Р-2808, Дубна, 1966.
12. Rossi B., Greisen K. – *Rev.Mod.Phys.*, 1941, v.13, p.240.
13. Беленький С.З., Иваненко И.П. – УФН, 1959, т.69, с.591.

Рукопись поступила в издательский отдел  
13 апреля 1988 года.